

01;03

Связанные волны линейной и угловой скоростей и температуры в жидкости с внутренним вращением

© А.Ф. Кабыченков

Институт радиотехники и электроники РАН,
141190 Фрязино, Московская обл., Россия
e-mail: akab@mail.cplire.ru

(Поступило в Редакцию 15 апреля 2008 г. В окончательной редакции 2 октября 2008 г.)

Записаны уравнения движения локально неравновесной жидкости с внутренним вращением. Рассмотрен термо-спиновый эффект. Показано, что в жидкости с внутренним вращением могут распространяться высокочастотные поперечные связанные волны линейной скорости, угловой скорости внутреннего вращения и температуры. Определены дисперсионное соотношение и частотная зависимость коэффициента затухания. Сравнение теоретической и экспериментальной дисперсии скорости поперечного звука показывает удовлетворительное согласие теории с экспериментом. Низкочастотные поперечные волны не проникают в жидкость, они затухают на длине волны. Показано, что в жидкости с внутренним вращением существуют частоты и соответствующие им волновые числа, при которых либо волны не затухают, либо отсутствует сдвиг фазы в скин-слое. Установлено, что спектр возбуждений может содержать частоту отсечки или энергетическую щель благодаря взаимодействию полей линейной и угловой скорости. Определены дисперсия и затухание связанных волн в окрестности точек синхронизма, где происходит резонансное взаимодействие несвязанных волн.

PACS: 03.65.Ge

Введение

Жидкость обладает свойством текучести, которое обусловлено отсутствием сдвиговых напряжений в жидкости [1]. По этой причине поперечные упругие волны не распространяются в однородной жидкости [2]. Колебание погруженной в жидкость пластины в ее собственной плоскости вызывает за счет вязкости поперечные смещения в жидкости вдоль нормали к поверхности пластины [3]. Однако эти смещения затухают в приповерхностном слое (на длине волны) и не могут рассматриваться в качестве поперечных волн [3]. Тем не менее гиперзвуковые поперечные волны экспериментально обнаружены в маловязких жидкостях [4,5]. Эти волны возбуждались на частоте 0.5–1.0 GHz с помощью кристаллов кварца или ниобата лития, помещенных в сверхвысокочастотный резонатор.

Возможно, что распространение поперечных волн обусловлено локально неравновесным состоянием жидкости на гиперчастотах. Движение молекул жидкости включает два процесса — колебания относительно некоторого положения в течение времени „оседлости“ и перескока в другое положение за время самодиффузии [6]. Если период внешних воздействий меньше времени „оседлости“, то жидкость проявляет эффективную сдвиговую жесткость. Следовательно, на гиперчастотах возможен поперечный звук. С понижением температуры скорость поперечных волн будет возрастать, и волны будут эффективно возбуждаться на более низких частотах.

Жидкость как сплошная среда характеризуется усредненными по физически бесконечно малому объему величинами [1]. В классической среде этими величинами является плотность массы, энергии и импульса. Однако

заклученные в элементарном объеме частицы обладают не только импульсом, но и моментом импульса (орбитальные моменты, а также спины электронов и ядер). Следовательно, наряду с плотностью импульса среда характеризуется плотностью момента импульса (внутренним вращением) [7–9]. Плотность полного момента импульса складывается из плотностей орбитального (внешнего) момента и внутреннего момента (плотности спина). Изменение внутреннего момента импульса во времени вызывается объемным моментом силы, определяемым антисимметричной частью тензора напряжений [7–9]. При постоянном внутреннем моменте импульса тензор напряжений будет симметричным. При симметричном тензоре напряжений внешний и внутренний моменты импульса сохраняются по отдельности. В общем случае на материальную точку среды действуют не только объемные и поверхностные силы, но также объемные и поверхностные моменты сил [7–9].

В поперечной волне поле скоростей обладает завихренностью (локальным внешним вращением). В силу закона сохранения полного момента импульса внешнее вращение вызывает внутреннее [7–9]. Связь внешнего и внутреннего вращений продемонстрирована гиромагнитными эффектами. Определяющая изменение плотности спина антисимметричная часть тензора напряжений пропорциональна разности скоростей внешнего и внутреннего вращений [8,9]. Скорость внешнего вращающегося представляет собой половину вихря линейной скорости, а скорость внутреннего вращающегося определяется как отношение плотности спина к плотности среднего момента инерции. Указанная разность скоростей исчезает за время релаксации внутреннего вращающегося. Ввиду малости этого времени (10^{-9} – 10^{-11} s для суспензий частиц с

характерным размером 10^{-5} – 10^{-6} см) внутреннее вращение обычно не учитывается при рассмотрении вязкого течения [8,9]. Однако период гиперзвука сравним с этим временем релаксации и, следовательно, распространение гиперзвука необходимо рассматривать с учетом внутреннего вращения.

Связь внутреннего вращения и скорости сдвиговых смещений позволяет возбуждать волны внутреннего вращения (спиновые волны) через поперечный гиперзвук. В области гиперчастот адиабатическое приближение становится неприменимым. Поэтому здесь необходимо учитывать релаксацию внутренней энергии наряду с внутренним вращением. Таким образом, при рассмотрении гиперзвука среду следует характеризовать векторными полями линейной и угловой скоростей и скалярным полем температуры, определенных на скалярном поле плотности массы.

В настоящей работе рассматриваются гиперзвуковые возбуждения жидкости с учетом изменений внутреннего вращения и температуры в рамках локально неравновесной термодинамики, а также объясняются экспериментальные результаты [4,5].

Жидкость с внутренним вращением может рассматриваться в качестве модели для изучения связанных векторных и скалярных полей. Такие модели имеют место в теории поля. Связанные волны линейной и угловой скоростей и температуры представляют собой возбуждение векторных полей и скалярного поля.

Уравнения неравновесной термодинамики

В рамках неравновесной термодинамики движение однокомпонентной сплошной среды описывается уравнениями баланса, выражающими законы сохранения массы, импульса и момента импульса

$$\rho \dot{} + \rho v_{n,n} = 0, \quad (1)$$

$$\rho \mathbf{v} \dot{} + \mathbf{P}_{n,n} = 0, \quad (2)$$

$$\rho \mathbf{s} \dot{} + \mathbf{R}_{n,n} = \mathbf{N}, \quad (3)$$

где ρ — плотность среды, \mathbf{v} — скорость материальной точки среды, $(\dot{}) \equiv d()/dt = ()_{,t} + v_n()_{,n}$ — материальная производная, $()_{,t} \equiv \partial()/\partial t$, $()_{,n} \equiv \partial()/\partial x_n$, x_n — декартовы координаты, $\mathbf{P}_n = \mathbf{e}_i P_{in}$, \mathbf{e}_i — базисный вектор, P_{in} — тензор линейных напряжений (плотность поверхностных сил), $\mathbf{s} = \theta \boldsymbol{\omega}$ — плотность внутреннего момента импульса (плотность спина), θ — плотность (среднего) момента инерции на единицу массы, $\boldsymbol{\omega}$ — угловая скорость внутреннего вращения, физический смысл которой следует из соотношения $\boldsymbol{\omega} = \Sigma \theta_i \boldsymbol{\omega}_i / \theta$; $\theta = \Sigma \theta_i / \Sigma m_i$, θ_i , m_i и $\boldsymbol{\omega}_i$ — моменты инерции, масса и угловая скорость заключенных в элементарном объеме частиц, $\mathbf{R}_n = \mathbf{e}_i R_{in}$, R_{in} — тензор угловых напряжений (плотность поверхностных моментов сил),

$\mathbf{N} = -2\mathbf{P}$ — плотность объемных моментов сил, обусловленных несимметричностью тензора линейных напряжений, $\mathbf{P} = -(1/2)\mathbf{e}_i e_{ink} P_{nk}^a$ — вектор, дуальный антисимметричной части $P_{nk}^a = -e_{nki} P_i$ тензора линейных напряжений, e_{ink} — единичный антисимметричный тензор [8].

Уравнение баланса энтропии имеет вид

$$\rho \dot{s} + \mathbf{J}_{n,n}^s = \sigma, \quad (4)$$

где s — плотность энтропии, $\mathbf{J}^s = T^{-1}\mathbf{q}$ — поток энтропии, T — температура, \mathbf{q} — тепловой поток (поток внутренней энергии).

Производство энтропии представляет собой положительно определенную билинейную форму

$$\sigma = \mathbf{J}^n \mathbf{K}^n \geq 0,$$

в которой обобщенные термодинамические потоки и сопряженные им термодинамические силы выражаются в виде

$$\begin{aligned} J_i^1 &= q_i, & K_i^1 &= T_i^{-1}, \\ J_{ij}^2 &= v_{ij}, & K_{ij}^2 &= -T^{-1} P_{ji}, \\ J_i^3 &= \omega_i - \Omega_i, & K_i^3 &= -T^{-1} 2P_i, \\ J_{ij}^4 &= \omega_{ij}, & K_{ij}^4 &= -T^{-1} R_{ji}, \\ J_i^5 &= V_i, & K_i^5 &= -T^{-1} 2R_i, \end{aligned} \quad (5)$$

где $P_{ij} = P_{ij}^s - P_{ij}^e$ — симметричный тензор линейных напряжений, обусловленный вязкостью среды, $P_{ij}^e = p \delta_{ij}$ — тензор равновесных линейных напряжений, δ_{ij} — единичный симметричный тензор, $p = (1/3)P_{ii}^e$ — давление, $v_{ij} = (v_{j,i} + v_{i,j})/2$ — симметричный тензор линейной скорости деформации, $\boldsymbol{\Omega} = (1/2) \text{rot } \mathbf{v}$ — угловая скорость локального внешнего вращения (вихрь линейной скорости), $\omega_{ij} = (\omega_{j,i} + \omega_{i,j})/2$ — симметричный тензор угловой скорости деформации, $R_{ij} = R_{ij}^s$ — симметричный тензор угловых напряжений, обусловленный вязкостью среды, $\mathbf{R} = -(1/2)\mathbf{e}_i e_{ijn} R_{jn}^a$ — вектор, дуальный антисимметричной части $R_{jn}^a = -e_{jni} R_i$ тензора угловых напряжений, $\mathbf{V} = (1/2) \text{rot } \boldsymbol{\omega}$ — „внутренняя“ скорость (вихрь угловой скорости) [7–10].

Термодинамические переменные связаны уравнениями состояния $s = s(T, \rho)$ и $p = p(T, \rho)$. Термодинамические потоки и силы в (5) связаны определяющими уравнениями, которые при слабых силах можно представить в форме линейных интегральных соотношений

$$\mathbf{J}^n(t) = \int_{-\infty}^t L^{nm}(t, t') \mathbf{K}^m(t') dt', \quad (6)$$

где $L^{nm}(\mathbf{Q})$ — кинетические коэффициенты, $\mathbf{Q} \equiv (Q^1)$ — параметры, включающие термодинамические переменные. Выражение (6) показывает, что поток в данный

момент времени определяется обобщенными силами во все предыдущие моменты времени, т.е. связь (6) учитывает „память“ среды.

Кинетические коэффициенты удовлетворяют симметричным уравнениям

$$\begin{aligned} R^\wedge L_{ij..}^{nm} (r^\wedge \mathbf{Q}) &= L_{i'j'..}^{nm} (\mathbf{Q}), \\ \underline{c} R^\wedge L_{ij..}^{nm} (\underline{c} r^\wedge \mathbf{Q}) &= L_{i'j'..}^{nm} (\mathbf{Q}), \\ c' R^\wedge L_{ji..}^{mn} (c' r^\wedge \mathbf{Q}) &= L_{i'j'..}^{mn} (\mathbf{Q}), \\ \underline{c} c' R^\wedge L_{ji..}^{mn} (\underline{c} c' r^\wedge \mathbf{Q}) &= L_{i'j'..}^{mn} (\mathbf{Q}), \end{aligned} \quad (7)$$

где $R^\wedge L_{ij..}^{nm} \equiv (r_{i'i} r_{j'j..}) L_{ij..}^{nm} (r^\wedge \mathbf{Q})$ — преобразование коэффициентов при простых поворотах, r^\wedge — оператор простого поворота, применяемый к каждому нижнему индексу, $r_{i'i}$ — матрица поворота, $c = c^n c^m = \pm 1$, $\underline{c} = \underline{c}$, $c' = c^m \mathbf{K}^m$ — определяющее c^m соотношение, $c^\wedge = \underline{1}$, l' — операторы пространственной и временной инверсии, \underline{c}^m , $c'^m = 1$ для векторов \mathbf{K}^m четного (i) типа (аксиальный i -вектор, $\mathbf{K}^{2,3}$), $\underline{c}^m = -1$, $c'^m = 1$ — для векторов электрического (e) типа (полярный i -вектор, $\mathbf{K}^{1,4,5}$), $\underline{c}^m = 1$, $c'^m = -1$ для векторов магнитного (m) типа (аксиальный c -вектор), $\underline{c}^m = -1$, $c'^m = -1$ — для векторов магнитоэлектрического (me) типа (полярный c -вектор) [10–12].

Перестановка пар индексов в (7) обусловлена принципом причинности. В симметричных относительно l' средах третье уравнение из (7) дает классическое симметричное соотношение $c' L_{ji..}^{mn} (-\mathbf{s}, -\mathbf{B}) = L_{ij..}^{nm} (\mathbf{s}, \mathbf{B})$, причем $c' = 1$ в случае \mathbf{K}^n и \mathbf{K}^m , изменяющих или не изменяющих знак одновременно под действием l' , и $c' = -1$ в противоположном случае, когда только один из векторов изменяет знак, \mathbf{B} — магнитное поле [12,13].

В центросимметричных изотропных средах из перекрестных кинетических коэффициентов будут отличными от нуля, как видно из (7), только коэффициенты $L_{ij..}^{15}$ и $L_{ij..}^{51}$.

Уравнения движения локально неравновесной среды с внутренним вращением

Ограничиваясь двумя членами в разложении термодинамических сил в (6) в точке t , используя (7) с учетом симметрии среды, определяющие уравнения линейных напряжений можно записать в виде

$$\begin{aligned} P_{ij} + \tau_t^v P_{ij,t} &= f_{ij}, \quad f_{ij} = P_{0ij} - \delta_{ij} l^v (\tau_t^v - \tau_v^v) P_{\mu\mu,t}, \\ P_{0ij} &= -2\eta^v (v_{ij} - \delta_{ij} v_{\mu\mu}/3) + \delta_{ij} \xi^v v_{\mu\mu}, \\ P_{\mu\mu} + \tau_v^v P_{\mu\mu,t} &= -3\xi^v v_{\mu\mu}, \\ \mathbf{P} + \tau_r^v \mathbf{P}_t &= \lambda^v (\boldsymbol{\omega} - \boldsymbol{\Omega}), \end{aligned} \quad (8)$$

где τ_t^v и τ_v^v — время поперечной и продольной релаксации симметричных линейных напряжений к локально равновесному значению, δ_{ij} — единичный тензор,

$l^v = L_{12}^{22}(0)/2L_{44}^{22}(0)$ (далее в кинетических коэффициентах используется сокращенная запись индексов), P_{0ij} — тензор локально равновесных вязких напряжений, $P_{\mu\mu} = P_{11} + P_{22} + P_{33}$, $v_{\mu\mu} = \text{div } \mathbf{v}$ — скорость относительного изменения объема или точечная особенность поля линейной скорости, η^v — коэффициент линейной сдвиговой вязкости, $\tau_v^v = (3\xi^v/2\eta^v)(\tau_t^v + 3l^v \tau_v^v)$ — время объемной релаксации, ξ^v — коэффициент линейной объемной вязкости, τ_r^v — время релаксации антисимметричных линейных напряжений, λ^v — коэффициент линейной вращательной вязкости.

На основании (2) и (8) уравнение движения поля линейной скорости в локально неравновесной среде можно представить в форме

$$\begin{aligned} \tau_t^v (\rho \mathbf{v}^{\cdot})_{,t} + \rho \mathbf{v}^{\cdot} - (\eta^v \mathbf{v}_{,n})_{,n} \\ = -\text{grad } p^{ve} + \eta^v \text{grad}(v_n) + \text{rot } \mathbf{P}^e, \end{aligned} \quad (9)$$

где $p^{ve} = p + \tau_t^v p_{,t} + p^v$ — эффективное давление или эффективный скалярный потенциал, градиент которого дает силу, $p^v = -(\xi^v + \eta^v/3)v_{\mu\mu} + l^v (\tau_v^v - \tau_t^v) P_{\mu\mu,t}$ — составляющая потенциала, связанная с точечной особенностью поля линейной скорости,

$$P_{\mu\mu} = -(3\xi^v/\tau_v^v) \int_{-\infty}^t v_{\mu\mu}(t') \exp((t' - t)/\tau_v^v) dt'$$

— составляющая потенциала, определяемая предысторией особенности, $\mathbf{P}^e = \mathbf{P} + \tau_t^v \mathbf{P}_{,t}$ — эффективный векторный потенциал, ротор которого дает силу, причем

$$\mathbf{P} = (\lambda^v/\tau_r^v) \int_{-\infty}^t (\boldsymbol{\omega} - \boldsymbol{\Omega})(t') \exp((t' - t)/\tau_r^v) dt'$$

определяется предысторией разности скоростей внутреннего и внешнего вращений. Из (9) следует, что динамика линейной скорости зависит от завихренности угловой скорости внутреннего вращения.

В локально равновесной среде ($\tau_t^v \tau_t^v \rightarrow 0$) без учета внутреннего вращения ($\lambda^v \rightarrow 0$) уравнение (9) переходит в уравнение Навье–Стокса, описывающее диффузию импульса. В локально неравновесной среде параболическое уравнение Навье–Стокса преобразуется в гиперболическое (9), которое допускает решения в виде поперечных волн.

Определяющие уравнения угловых напряжений с учетом симметрии среды на основании (6) и (7) можно записать в виде

$$\begin{aligned} R_{ij} + \tau_t^\omega R_{ij,t} &= n_{ij}, \quad n_{ij} = R_{0ij} - \delta_{ij} l^\omega (\tau_t^\omega - \tau_v^\omega) R_{\mu\mu,t}, \\ R_{0ij} &= -2\eta^\omega (\omega_{ij} - \delta_{ij} \omega_{\mu\mu}/3) + \delta_{ij} \xi^\omega \omega_{\mu\mu}, \\ R_{\mu\mu} + \tau_v^\omega R_{\mu\mu,t} &= -3\xi^\omega \omega_{\mu\mu}, \\ \mathbf{R} + \tau_r^\omega \mathbf{R}_t + \alpha^\omega (\mathbf{q} + \tau^q \mathbf{q}_t) &= -\lambda^\omega \mathbf{V}, \end{aligned} \quad (10)$$

где τ_t^ω и τ_v^ω — время поперечной и продольной релаксации симметричных угловых напряжений к локально равновесному значению, $l^\omega = L_{12}^{44}(0)/2L_{44}^{44}(0)$,

$R_{\mu\mu} = R_{11} + R_{22} + R_{33}$, $\omega_{\mu\mu} = \text{div } \boldsymbol{\omega}$ — точечная особенность поля угловой скорости, η^ω — коэффициент угловой сдвиговой вязкости, $\tau_v^\omega = (3\xi^\omega/2\eta^\omega)(\tau_t^\omega + 3l^\omega\tau_r^\omega)$ — время объемной релаксации, ξ^ω — коэффициент угловой объемной вязкости, τ_r^ω — время релаксации антисимметричных угловых напряжений, λ^ω — коэффициент угловой вращательной вязкости, α^ω — коэффициент, определяющий перекрестные (термоспиновые) эффекты, τ^q — перекрестное термоспиновое время релаксации.

Из (3) и (10) следует уравнение движения поля угловой скорости внутреннего вращения в локально неравновесной среде

$$\tau_t^\omega(\rho\theta\boldsymbol{\omega}^*)_{,t} + \rho\theta\boldsymbol{\omega}^* - (\eta^\omega\boldsymbol{\omega}_{,n})_{,n} = \mathbf{N}^e - \text{grad } p^{\omega e} + \eta_n^\omega \text{grad } \omega_n + \text{rot } \mathbf{R}^e, \quad (11)$$

где $\mathbf{N}^e = -2(\mathbf{P} + \tau_t^\omega \mathbf{P}_{,t})$ — неравновесный момент сил, обусловленный антисимметричной частью тензора линейных напряжений, $p^{\omega e} = -(\xi^\omega + \eta^\omega/3)\omega_{\mu\mu} + l^\omega(\tau_v^\omega - \tau_t^\omega)R_{\mu\mu,t}$ — связанный с точечной особенностью поля угловой скорости эффективный скалярный потенциал, градиент которого дает момент сил,

$$R_{\mu\mu} = -(3\xi^\omega/\tau_v^\omega) \int_{-\infty}^t \omega_{\mu\mu}(t') \exp((t' - t)/\tau_v^\omega) dt'$$

— составляющая скалярного потенциала, обусловленная предысторией особенности, $\mathbf{R}^e = \mathbf{R} + \tau_t^\omega \mathbf{R}_{,t}$ — эффективный векторный потенциал, ротор которого дает момент сил. Из (11) видно, что на внутреннее вращение влияют вихрь линейной скорости и непотенциальная часть теплового потока.

В локально равновесном состоянии ($\tau_t^\omega, \tau_r^\omega \rightarrow 0$) уравнение (11) описывает диффузию внутреннего момента импульса. При малой неоднородности внутреннего и внешнего вращений скорость $\boldsymbol{\omega} \rightarrow \boldsymbol{\Omega}$ с характерным временем релаксации $\tau^\lambda = \rho\theta/2\lambda^v$ [7]. В локально неравновесной среде параболическое уравнение диффузии внутреннего вращения преобразуется в гиперболическое уравнение, которое допускает решения в виде поперечных волн.

При слабом тепловом потоке и малых антисимметричных угловых напряжениях на основании (6) и (7) с учетом симметрии среды можно записать определяющее уравнение теплового потока в виде

$$\mathbf{q} + \tau^T \mathbf{q}_{,t} + \alpha^T (\mathbf{R} + \tau^q \mathbf{R}_{,t}) = -\lambda^T T_{,x}, \quad (12)$$

где λ^T — коэффициент теплопроводности, τ^T — время релаксации теплового потока, α^T — коэффициент, определяющий перекрестные (термоспиновые) эффекты, причем благодаря симметрии кинетических коэффициентов $\alpha^T = -2T(\lambda^T/\lambda^\omega)\alpha^\omega$. Вследствие положительной определенности производства энтропии коэффициенты $\lambda^\omega, \lambda^T > 0$. При $\alpha^T \rightarrow 0$ уравнение (12) переходит в уравнение Каттанео–Максвелла.

Соотношения (10) и (12) дают дифференциальные уравнения второго порядка для \mathbf{q} и \mathbf{R} . Из этих уравнений

видно, что \mathbf{q} и \mathbf{R} определяются не только градиентом температуры и вихрем угловой скорости внутреннего вращения, но и их изменением во времени. В локально равновесном состоянии ($\tau_r^\omega, \tau^T, \tau^q \rightarrow 0$) из (10) и (12) с учетом симметрии кинетических коэффициентов следуют простые соотношения

$$\begin{aligned} \mathbf{q} &= -\lambda^T T_{,x} - \alpha^T \mathbf{R}, \\ \mathbf{V} &= -(\alpha^T/2T)T_{,x} - \alpha^R \mathbf{R}, \end{aligned} \quad (13)$$

где $\alpha^R = (1 + \alpha_0)/\lambda^\omega$, причем $\alpha_0 = -\alpha^\omega \alpha^T > 0$. Если коэффициент α^T отличен от нуля, то поток внутренней энергии производится не только градиентом температуры, но и антисимметричной частью тензора, определяющего поток внутреннего вращения (термоспиновый эффект). Этот же коэффициент определяет возбуждение завихренности скорости внутреннего вращения градиентом температуры. В частности, неоднородность $T_{,x}$ создает неоднородности $\omega_{z,y}$ или $\omega_{y,z}$ и, наоборот, неоднородности $\boldsymbol{\omega}$ (магнитного поля) создают градиент T . По симметрии термоспиновый эффект аналогичен термоэлектрическому эффекту, \mathbf{R} и \mathbf{V} — аналоги электрического поля и тока (недиссипативного). По аналогии с намагниченностью плотность недиссипативного тока можно определить соотношением $\langle \int [\mathbf{rs}] dv \rangle$, где \mathbf{s} — микроскопическая плотность спина. Интегрирование производится по объему „элементарной ячейки“ или кластера, в котором сохраняется ближний порядок, $\langle \dots \rangle$ — усреднение по элементарному объему. Из (7) следует, что однородный спонтанный недиссипативный ток (внутренний импульс) может существовать только в средах неинвариантных относительно как пространственной, так и временной инверсий.

На основании (4) и (12) с учетом уравнения состояния $dx = (c_v/T)dT + \chi\rho^{-2}d\rho$ (c_v — теплоемкость, $\chi = (p,T)_\rho$) можно записать уравнение, описывающее пространственно-временное изменение температуры в локально неравновесной среде с внутренним вращением в виде

$$\tau^T(\rho c_v T^*)_{,t} + \rho c_v T^* - (\lambda^T T_{,n})_{,n} = \sigma^T + (\alpha^T R_n^T)_{,n}, \quad (14)$$

где $\mathbf{R}^T = \mathbf{R} + \tau^q \mathbf{R}_{,t}$, $\sigma^T = \sigma_0^T + \tau^T \sigma_{0,t}^T$ — источник тепла, обусловленный преобразованием механического движения в тепло, причем мощностью источника определяется не только величиной $\sigma_0^T = T\chi v_{\mu\mu} - \sigma_m^T$, но и скоростью ее изменения, $\sigma_m^T = P_{ji}v_{ij} + 2\mathbf{P}(\boldsymbol{\Omega} - \boldsymbol{\omega}) + R_{ji}\omega_{ij} + 2\mathbf{R}\mathbf{V}$ — составляющая источника, связанная со сдвиговыми и вращательными напряжениями.

Приращение температуры линейно связано со скоростью и ускорением сжимаемости. Эта связь, в частности, определяет нагревание среды при сжатии. Кроме этого, $v_{\mu\mu}$ перенормирует теплоемкость. При постоянной плотности в отсутствие постоянных неоднородностей линейной и угловых скоростей источник тепла определяется только нелинейной составляющей σ_m^T . Влияние внутреннего вращения на тепловые процессы происходит

через расходимость вектора $\alpha^T \mathbf{R}^T$. Следовательно, при постоянных коэффициентах завихренности внутреннего вращения \mathbf{V} не влияет на тепловые процессы.

Связь поля температуры и поля угловой скорости внутреннего вращения происходит через перекрестные и неравновесные процессы. В локально равновесной среде ($\tau^T \rightarrow 0$) без учета внутреннего вращения ($\alpha^T \rightarrow 0$) уравнение (14) переходит в уравнение теплопроводности, описывающее диффузию внутренней энергии. В локально неравновесной среде параболическое уравнение теплопроводности преобразуется в гиперболическое (14), которое допускает волновые решения отклонения температуры $T_{\sim} = T - T_0$ от равновесного значения T_0 .

Связанные волны линейной и угловой скоростей и температуры

В линейном приближении система уравнений (9), (11) и (14) имеет решение в виде гармонических волн $\mathbf{v}, \omega, T_{\sim} \propto \exp(i\mathbf{k}\mathbf{x} - i\omega t)$, где \mathbf{k} и ω — волновой вектор и частота волн. Подставив последнее соотношение в (8), (10), (12) и (9), (11) при условии однородных и постоянных коэффициентов вязкости, определяющих перекрестные эффекты коэффициентах, $v_{\mu\nu}$ и $\omega_{\mu\nu}$ получим систему линейных алгебраических уравнений. Из этой системы следуют соотношения связи векторов линейной и угловой скоростей в волне

$$\mathbf{v} = ic^v[\omega\mathbf{k}], \quad \omega = ic^\omega[\mathbf{v}\mathbf{k}], \quad (15)$$

где $c^v = \lambda^v/d^v$ и $c^\omega = \lambda^\omega/d^\omega$ — коэффициенты динамической связи полей, $\lambda^v = \lambda_{v0}^v \xi^v$ и $\lambda^\omega = \lambda_{\omega 0}^\omega \xi^\omega$ — параметры связи $\lambda_{v0}^v = (\lambda^v/\rho\tau^v)$ и $\lambda_{\omega 0}^\omega = (\lambda^\omega/\rho\theta\tau^\omega)$ — амплитуды параметров $\xi^v = (1 - i\omega\tau^v)/(1 - i\omega\tau_r^v)$ и $\xi^\omega = (1 - i\omega\tau^\omega)/(1 - i\omega\tau_r^\omega)$ — функции, характеризующие частотную зависимость параметров связи, $d^v = d_0^v - v_{v\xi}^2 \mathbf{k}^2$ и $d^\omega = d_0^\omega - v_{\omega\xi}^2 \mathbf{k}^2$ — полиномы, определяющие дисперсионные соотношения несвязанных волн, $d_0^v = \omega^2 + i\omega(\tau^v)^{-1}$ и $d_0^\omega = \omega^2 - \omega_\xi^2 + i\omega(\tau^\omega)^{-1}$ — зависящие только от частоты слагаемые, $\omega_\xi^2 = \omega_0^2 \xi^\omega$ — эффективная частота „отсечки“ (эффективная энергетическая щель), $\omega_0^2 = (\tau^\lambda \tau^\omega)^{-1}$ — энергетическая щель, $v_{v\xi}^2 = v_v^2(1 + \lambda_\eta^v \xi^v)$ и $v_{\omega\xi}^2 = v_\omega^2(1 + \lambda_\eta^\omega \xi^\omega \xi_T)$ — эффективная скорость, $v_v^2 = v^v/\tau^v$ и $v_\omega^2 = v^\omega/\tau^\omega$ — скорость возбуждения полей линейной и угловой скоростей, $v^v = \eta^v/\rho$ и $v^\omega = \eta^\omega/\rho\theta$ — кинематическая вязкость, $\lambda_\eta^v = \lambda^v/2\eta^v$ и $\lambda_\eta^\omega = \lambda^\omega/2\eta^\omega$ — отношения коэффициентов вязкости, $\xi^\omega = (1 - i\omega\tau^\omega)/(1 - i\omega\tau_r^\omega)$ — функция, характеризующая наряду с ξ^v , частотную зависимость эффективной скорости, $\xi_T = (1 + \alpha_0 \xi^\omega \xi_T^q)^{-1}$ — функция, характеризующая влияние температуры на скорость волн внутреннего вращения, $\xi^\omega = (1 - i\omega\tau^q)/(1 - i\omega\tau_r^q)$ и $\xi_T^q = (1 - i\omega\tau^q)/(1 - i\omega\tau^T)$ — составляющие функции, определяющие ее частотную зависимость.

Из (15) видно, что векторы линейной и угловой скоростей взаимно ортогональны и лежат в плоскости, нормальной направлению распространения волны, причем сдвиг фаз между колебаниями векторов зависит не только от параметров среды, но и от частоты.

При постоянных и однородных кинетических коэффициентах температурные волны не связаны непосредственно с векторами скоростей. Влияние поля температуры на поле угловой скорости внутреннего вращения происходит через завихренность поля угловой скорости, и обратное влияние происходит через его расходимость, что видно из (11) и (14). Однако поскольку $\text{rot } T_{,x} \equiv 0$ и $\text{div } \mathbf{V} \equiv 0$, то прямая связь между полями отсутствует. Влияние температурных колебаний на связанные волны линейной и угловой скоростей в линейном приближении осуществляется параметрически через изменение скорости волн внутреннего вращения.

Дисперсионное соотношение связанных волн получается из (15) в виде

$$d^v d^\omega = \lambda_v^v \lambda_\omega^\omega \mathbf{k}^2. \quad (16)$$

Решение уравнения (16) можно представить в виде

$$k_{1,2}^2 = (1/2)[d_+ \pm (d_-^2 + \Lambda_d)^{1/2}], \quad (17)$$

где $d_\pm = d_v^v \pm d_\Lambda^\omega$, $d_v^v = d_0^v/v_{v\xi}^2$, $d_\Lambda^\omega = d_v^\omega + \Lambda$, $d_v^\omega = d_0^\omega/v_{\omega\xi}^2$ — нормированные слагаемые, зависящие только от частоты $\Lambda = \lambda_v^v \lambda_\omega^\omega / v_{v\xi}^2 v_{\omega\xi}^2$, $\Lambda_d = 4\Lambda d_v^v$ — параметр связи. При $\Lambda_d \rightarrow 0$ соотношение (17) распадается на два соотношения $k_v^2 = d_v^v$ и $k_\omega^2 = d_\Lambda^\omega$, описывающие несвязанные волны линейной и угловой скоростей внутреннего вращения. Последние соотношения описывают и связанные волны в областях высоких и низких частот, где $d_-^2 \gg \Lambda_d$.

Дисперсионное соотношение температурных волн на основании (10), (12) и (14) при постоянных плотности, теплоемкости, коэффициенте теплопроводности и характеризующем термо-спиновой эффект коэффициенте, определяется соотношением

$$k_3^2 = d_T^T, \quad (18)$$

где $d_T^T = d_0^T/v_{T\xi}^2$, $d_0^T = \omega^2 + i\omega/\tau^T$, $v_{T\xi}^2 = v_T^2 \xi_T$ — зависящая от частоты эффективная скорость, $v_T^2 = v^T/\tau^T$ — скорость температурных волн, $v^T = \lambda^T/\rho c_v$ — коэффициент температуропроводности.

Волны температуры и скоростей связаны благодаря зависимости скорости распространения волн от одного параметра ξ_T , зависящего от перекрестных коэффициентов. В отсутствие связи ($\xi_T \rightarrow 1$) дисперсия температурных волн будет определяться соотношением $k_T^2 = d_0^T/v_T^2$. Заметим, что скорости волн всех полей определяются отношением удельного коэффициента диффузии (импульса, момента импульса, внутренней энергии) к времени релаксации.

Поперечные волны линейной скорости

Рассмотрим сначала возбуждения поля линейной скорости $v(t, x_n)$. Разделив d_v^v на действительную $d_{v'}^v$ и мнимую $d_{v''}^v$ части, определяющие дисперсию и затухание волн линейной скорости уравнения $k_v^2 = d_v^v$ можно представить в виде

$$k_v^{\prime\prime} = 2^{-1/2} \left\{ [(d_{v'}^v)^2 + (d_{v''}^v)^2]^{1/2} \pm d_{v_0}^v \right\}^{1/2}. \quad (19)$$

В случае действительных ω действительная и мнимая части выражаются соотношением

$$\begin{aligned} d_{v'}^v &= (\omega^2/v_{\lambda}^2) I_{2\xi}^v / I_1^v, \\ d_{v''}^v &= (\omega/\tau_r^v v_{v_0}^2) I_3^v / I_1^v, \end{aligned} \quad (20)$$

где $v_{\lambda}^2 = v_{v_0}^2/\xi_{\lambda v}$ — характерная скорость, $\xi_{\lambda v} = (1 + \lambda_{\eta}^v \theta^v)/(1 + \lambda_{\eta}^v)$ — функция, определяемая соотношением времен релаксации линейных сдвиговых и вращательных напряжений, $\theta^v = \tau_r^v/\tau_t^v$ — отношение времен релаксации, $\tau_1^v = \tau_t^v(\theta^v + \lambda_{\eta}^v)/(1 + \lambda_{\eta}^v)$, $(\tau_{2\xi}^v)^2 = (\tau_2^v)^2/\xi_{\lambda v}$, $(\tau_2^v)^2 = \tau_r^v \tau_1^v$, $(\tau_3^v)^2 = (\tau_t^v)^2[(\theta^v)^2 + \lambda_{\eta}^v]/(1 + \lambda_{\eta}^v)$ — характерные времена релаксации в поле линейной скорости, причем $\tau_3^v > \tau_1^v > \tau_{2\xi}^v$, $v_{v_0}^2 = v_v^2(1 + \lambda_{\eta}^v)$ — асимптотическая скорость, $I_n^v = 1 + (\omega\tau_n^v)^2$ — функции, определяемые соотношением частоты и времени релаксации, $n = 1, 2, \dots$. Зависимости $k_v^{\prime\prime}(\omega)$ представляют собой монотонные функции, которые могут иметь точки перегиба, где групповая скорость имеет экстремальное значение.

В низкочастотной области $\omega \ll \min\{(\tau_t^v)^{-1}, (\tau_r^v)^{-1}\}$ сдвиговые и вращательные напряжения будут локально равновесными. Здесь действительная и мнимая части k_v равны: $k_{v'} = k_{v''} = (\omega/2v_v(1 + \lambda_{\eta}^v))^{1/2}$. Следовательно, низкочастотные поперечные волны не распространяются в жидкости, они затухают на расстоянии $\delta^v = 1/k_v^{\prime\prime}$ от источника (гидравлический скин-эффект). Внутреннее вращение изменяет толщину скин-слоя, причем для $\lambda_{\eta}^v \gg 1$ величина $k_{v''} = (\omega\rho/\lambda^v)^{1/2}$ определяется коэффициентом вращательной вязкости.

В высокочастотной области $\omega \gg \max\{(\tau_t^v)^{-1}, (\tau_r^v)^{-1}\}$ сдвиговые и вращательные напряжения будут локально неравновесными. Здесь действительная часть $k_{v'} = \omega/v_{v\infty}$ линейно возрастает с частотой, а мнимая часть $k_{v''} = 1/2v_{v\infty}\tau_{\infty}^v$ не зависит от частоты, причем отношение $k_{v''}/k_{v'} = 1/2\omega\tau_{\infty}^v \ll 1$, где $v_{v\infty} = v_v(1 + \lambda_{\eta}^v/\theta^v)^{1/2}$ и $\tau_{\infty}^v = \tau_t^v\theta^v(\theta^v + \lambda_{\eta}^v)/((\theta^v)^2 + \lambda_{\eta}^v)$ — асимптотические скорость и время релаксации. Следовательно, высокочастотные поперечные волны могут распространяться в жидкости. Внутреннее вращение изменяет скорость волн линейной скорости и их время релаксации. Если время релаксации сдвиговых напряжений значительно меньше времени релаксации вращательных напряжений, то $v_{v\infty} \approx v_v$ и $\tau_{\infty}^v \approx \tau_t^v$ и, следовательно, характеристики

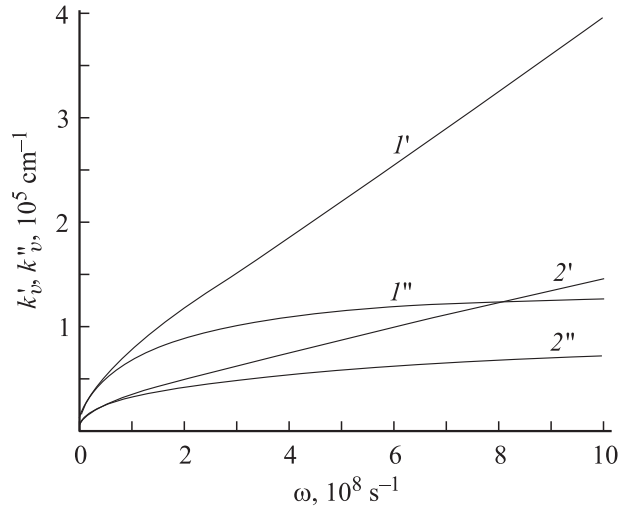


Рис. 1. Зависимости действительной (кривые 1', 2') и мнимой (кривые 1'', 2'') частей волнового числа от частоты при различных параметрах: $\lambda_{\eta}^v = 4$ (2).

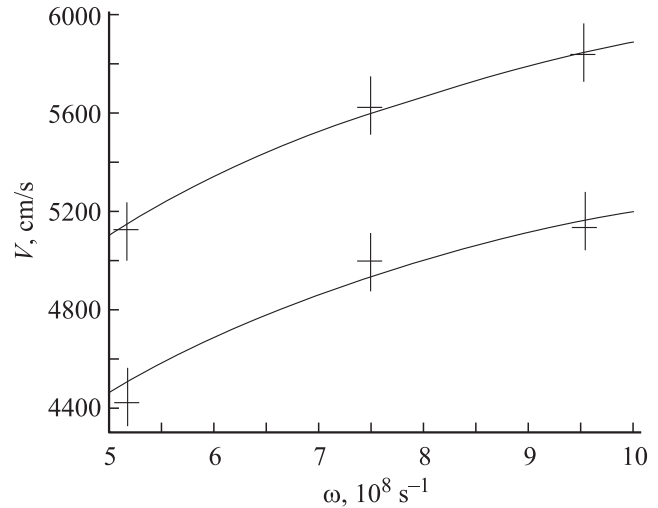


Рис. 2. Дисперсия скорости поперечного звука в жидкости и сравнение теоретических (линии) и экспериментальных (символы) результатов [4].

волн определяются параметрами сдвиговых напряжений. В противном случае $v_{v\infty} \approx v_{\lambda} = (\lambda^v/2\rho\tau_r^v)^{1/2}$ и $\tau_{\infty}^v \approx \tau_r^v$ и, следовательно, характеристики волн определяются параметрами вращательных напряжений.

Дисперсия и затухание линейных волн на основе (19) при $\tau_t^v = 1.4 \cdot 10^{-9}$ s, $\tau_r^v = 0.7 \cdot 10^{-9}$ s и различных λ_{η}^v показаны на рис. 1. Теоретические кривые дисперсии скорости для воды при численных значениях параметров $\tau_t^v = 1.2 \cdot 10^{-9}$ s, $\tau_r^v = 0.88 \cdot 10^{-9}$ s, $\lambda_{\eta}^v = 2.2$, $v_v = 0.01$ cm²/s и для нитробензола при $\tau_t^v = 1.4 \cdot 10^{-9}$ s, $\tau_r^v = 0.85 \cdot 10^{-9}$ s, $\lambda_{\eta}^v = 1.2$, $v_v = 0.02$ cm²/s, а также экспериментальные точки [4] представлены на рис. 2.

Видно, что расчеты удовлетворительно согласуются с экспериментальными данными.

Распространение упругих поперечных волн в жидкости происходит аналогично распространению электромагнитных волн в проводящей среде [14].

Поперечные волны угловой скорости внутреннего вращения

Рассмотрим далее возбуждения поля угловой скорости $\omega(t, x_n)$. В соотношении $k_\omega^2 = d_\Lambda^\omega$ можно представить $d_\Lambda^\omega = [\omega^2 + i(\omega/\tau_t^\omega) - \omega_0^2 f_0 \xi_{v1}^\omega]/v_{\omega\xi}^2$, где $f_0 = 1/(1 + \lambda_\eta^v)$, $\xi_{v1}^\omega = (1 - i\omega\tau_t^\omega)/(1 - i\omega\tau_1^v)$. Видно, что возбуждения полей линейной скорости и температуры влияют на волны внутреннего вращения посредством смещения частоты и через перенормировку скорости соответственно. Для того чтобы выделить влияние температурных изменений удобно записать $v_{\omega\xi}^2 = v_{\omega0}^2 \xi_{\omega1}^\omega / F_T$, где $v_{\omega0}^2 = v_\omega^2(1 + \lambda_\eta^v)$ — асимптотическая скорость, $\xi_{\omega1}^\omega = (1 - i\omega\tau_1^v)/(1 - i\omega\tau_r^\omega)$ — функция, определяющая дисперсию волн угловой скорости, $F_T = (1 + \alpha_0 \xi_\omega^q \xi_T^q)/(1 + \alpha_\lambda \xi_\omega^q \xi_T^q)$ — функция, определяющая связь полей температуры и угловой скорости, $\xi_{\omega1}^q = (1 - i\omega\tau^q)/(1 - i\omega\tau_1^\omega)$ — составляющая функции, характеризующая наряду с ξ_ω^q и ξ_T^q ее частотную зависимость, $\tau_1^\omega = \tau_t^\omega(\theta^\omega + \lambda_\eta^\omega)/(1 + \lambda_\eta^\omega)$ — эффективное время релаксации, определяемое отношением коэффициентов вязкости, $\theta^\omega = \tau_r^\omega/\tau_t^\omega$ — отношение времени релаксации, $\alpha_\lambda = \alpha_0/(1 + \lambda_\eta^\omega)$ — перенормированный коэффициент связи полей угловой скорости и температуры.

Разделив d_Λ^ω на действительную $d_\Lambda^{\omega'}$ и мнимую $d_\Lambda^{\omega''}$ части, определяющие дисперсию и затухание волн угловой скорости внутреннего вращения уравнение $k_\omega^2 = d_\Lambda^\omega$ можно представить в виде

$$k_\omega^{\prime\prime} = 2^{-1/2} \left\{ [(d_\Lambda^{\omega'})^2 + (d_\Lambda^{\omega''})^2]^{1/2} \pm d_\Lambda^{\omega'} \right\}^{1/2}. \quad (21)$$

В случае действительных ω части выражаются соотношениями

$$\begin{aligned} d_\Lambda^{\omega'} &= d_{\Lambda0}^{\omega'} F_v' F_T' - d_{\Lambda0}^{\omega''} F_v'' F_T'', \\ d_\Lambda^{\omega''} &= d_{\Lambda0}^{\omega''} F_v'' F_T'' + d_{\Lambda0}^{\omega'} F_v' F_T'. \end{aligned} \quad (22)$$

Функции, определяющие дисперсию „чистых“ волн угловой скорости внутреннего вращения имеют аналогичный (20) вид

$$\begin{aligned} d_{\Lambda0}^{\omega'} &= (\omega^2/v_{\omega\lambda}^2)(I_{2\xi}^\omega/I_1^\omega), \\ d_{\Lambda0}^{\omega''} &= (\omega/\tau_t^\omega v_{\omega0}^2)(I_3^\omega/I_1^\omega), \end{aligned} \quad (23)$$

где $v_{\omega\lambda}^2 = v_{\omega0}^2/\xi_{\lambda\omega}$ — нормированная скорость, $\xi_{\lambda\omega} = (1 + \lambda_\eta^\omega \theta^\omega)/(1 + \lambda_\eta^\omega)$ — функция, определяемая отношением времен релаксации $(\tau_{2\xi}^\omega)^2 = (\tau_2^\omega)^2/\xi_{\lambda\omega}$, $(\tau_2^\omega)^2 = \tau_r^\omega \tau_1^\omega$, $(\tau_3^\omega)^2 = (\tau_r^\omega)^2[(\theta^\omega)^2 + \lambda_\eta^\omega]/(1 + \lambda_\eta^\omega)$ — характерные времена релаксации в поле угловой

скорости, причем $\tau_3^\omega > \tau_1^\omega > \tau_{2\xi}^\omega$, $I_n^\omega = 1 + \omega^2(\tau_n^\omega)^2$ — функции, определяемые соотношением частоты и времен релаксации.

Функции, определяющие влияние поля линейной скорости на поле угловой скорости внутреннего вращения выражаются соотношениями

$$F_v' = 1 - (\omega_0^2/\omega^2)f_v', \quad F_v'' = 1 - \omega_0^2(\tau_{2\xi}^{\omega v})^2 f_v'', \quad (24)$$

где

$$\begin{aligned} f_v' &= (f_0/\xi_{\lambda\omega}) [I_2^\omega I_2^{\omega v} - \omega^2(\tau_3^{\omega v})^2] / I_1^\omega I_{2\xi}^\omega, \\ f_v'' &= f_0 I_4^{\omega v} / I_1^\omega I_3^\omega \end{aligned}$$

— функции, характеризующие частотную зависимость эффективной частоты отсечки, причем $f_v' > 0$, $(\tau_2^{\omega v})^2 = \tau_t^\omega \tau_1^v$, $(\tau_{2\xi}^{\omega v})^2 = (\tau_2^{\omega v})^2 \xi_{\omega v2}$, $(\tau_3^{\omega v})^2 = (\tau_1^\omega - \tau_r^\omega)(\tau_1^v - \tau_t^\omega)$, $(\tau_4^{\omega v})^2 = (\tau_3^\omega)^2 \xi_{\omega v4} / \xi_{\omega v2}$ — эффективные перекрестные времена релаксации, $\xi_{\omega v2} = 1 - \tau_{i\xi}^\omega / \tau_1^v$ и $\xi_{\omega v4} = 1 - \tau_\infty^\omega / \tau_1^v$ — функции, определяемые отношением времен релаксации в полях угловой и линейной скоростей, $\tau_{i\xi}^\omega = \tau_t^\omega \xi_{\lambda\omega}$ и $\tau_\infty^\omega = \tau_t^\omega (\tau_2^\omega)^2 / (\tau_3^\omega)^2$ — характерные времена релаксации в поле угловой скорости внутреннего вращения. Если параметр связи линейной и угловой скоростей $\lambda^v \rightarrow 0$, то частота $\omega_0^2 \rightarrow 0$ и, следовательно, $F_v', F_v'' \rightarrow 1$.

Функции, определяющие влияние поля температуры на поле угловой скорости внутреннего вращения, имеют вид

$$F_T' = (1 + \alpha_0 f_T')(1 + \alpha_\lambda f_{T1}') / F_{T0},$$

$$F_T'' = [\alpha_0 f_T''(1 + \alpha_\lambda f_{T1}') - \alpha_\lambda f_{T1}''(1 + \alpha_0 f_T'')] / F_{T0}, \quad (25)$$

где

$$f_T' = [I_2^{\omega q} I_2^{Tq} - \omega^2(\tau_3^{\omega q})^2] / I_r^\omega I^T,$$

$$f_T'' = \omega(\tau_r^\omega - \tau^q) [I_2^{Tq} + I_2^{\omega q} \xi_{\omega T}] / I_r^\omega I^T,$$

$$f_{T1}' = [I_{21}^{\omega q} I_2^{Tq} - \omega^2(\tau_{31}^{\omega q})^2] / I_1^\omega I^T,$$

$$f_{T1}'' = \omega(\tau_1^\omega - \tau^q) [I_2^{Tq} + I_{21}^{\omega q} \xi_{\omega 1T}] / I_1^\omega I^T,$$

— составляющие функции, определяющие ее частотную зависимость $(\tau_2^{\omega q})^2 = \tau_r^\omega \tau^q$, $(\tau^{Tq})^2 = \tau^T \tau^q$, $(\tau_3^{\omega q})^2 = (\tau_r^\omega - \tau^q)(\tau^T - \tau^q)$, $(\tau_{21}^{\omega q})^2 = \tau_1^\omega \tau^q$, $(\tau_{31}^{\omega q})^2 = (\tau_1^\omega - \tau^q)(\tau^T - \tau^q)$ — перекрестные термоспиновые времена релаксации, $\xi_{\omega T} = (\tau^T - \tau^q)/(\tau_r^\omega - \tau^q)$ и $\xi_{\omega 1T} = (\tau^T - \tau^q)/(\tau_1^\omega - \tau^q)$ — отношения времен релаксации в полях температуры и угловой скорости,

$$F_{T0} = (1 + \alpha_\lambda f_{T1}')^2 + (\alpha_\lambda f_{T1}'')^2.$$

Если параметр связи полей температуры и угловой скорости внутреннего вращения $\alpha_0 \rightarrow 0$, то $F_T' \rightarrow 1$ и $F_T'' = 0$.

Качественно проанализируем соотношения (21). В области высоких частот ($\omega \rightarrow \infty$) слагаемые $d_\Lambda^{\omega'} \propto \omega^2$ и $d_\Lambda^{\omega''} \propto \omega$ и, следовательно, $|d_\Lambda^{\omega'}| \gg |d_\Lambda^{\omega''}|$ и $k_\omega^{\prime\prime} \gg k_\omega^{\prime\prime}$. Здесь возможно распространение волн внутреннего вращения. С понижением ω слагаемые $d_\Lambda^{\omega'}$ и

$d_{\Lambda}^{\omega''}$ уменьшаются, причем первое уменьшается быстрее. В области частот, где $|d_{\Lambda}^{\omega''}| \gg |d_{\Lambda}^{\omega'}|$, величина $k'_{\omega} \approx k''_{\omega} \approx (d_{\Lambda}^{\omega''}/2)^{1/2}$. Следовательно, низкочастотная волна внутреннего вращения не распространяется, она затухает в жидкости на длине волны (скин-эффект).

В отличие от возбуждения поля линейной скорости возбуждения поля угловой скорости внутреннего вращения благодаря взаимодействию полей имеют ненулевые характерные частоты ω_s и ω_c , которые удовлетворяют уравнениям $d_{\Lambda}^{\omega'}(\omega_s) = 0$ и $d_{\Lambda}^{\omega''}(\omega_c) = 0$. Частота ω_s соответствует точному скин-эффекту. В точке ω_s изменяется соотношение между k'_{ω} и k''_{ω} . Частота ω_c определяет окно прозрачности (волна на ω_c не затухает) при $\omega_c > \omega_s$ и частоту отсечки при $\omega_c < \omega_s$.

В общем случае уравнения довольно громоздки. Поэтому рассмотрим частный случай слабой связи полей температуры и угловой скорости внутреннего вращения ($\alpha_0 \rightarrow 0$).

В данном случае определяющее ω_s уравнение сводится к $F'_{v0}(\omega_s) = 0$, где $F'_{v0}(\omega) \equiv \omega^6 + a_2\omega^4 + a_1\omega^2 - a_0$ — биквадратный полином, $a_2 = (\tau_1^v)^{-2} + (\tau_2^{\omega})^{-2} - \omega_{0v}^2$, $a_1 = (\tau_2^{\omega})^{-2}((\tau_1^v)^{-2} - \omega_{0v}^2 \xi_{\omega v})$ и $a_0 = \omega_{0v}^2 / (\tau_2^{\omega})^2 (\tau_2^{\omega v})^2$ — коэффициенты, $\omega_{0v}^2 = 1/\tau_f^{\lambda} \tau_1^v$ — эффективная частота отсечки, $\tau_f^{\lambda} = \tau^{\lambda}/f_0$ — перенормированное время релаксации, $\xi_{\omega v} = 1 + (\tau_3^{\omega})^2 / (\tau_{i\xi}^{\omega} \tau_1^v)$. Уравнение имеет только одно решение, причем $\omega_s \rightarrow 0$ при $\omega_0 \rightarrow 0$.

Частоты ω_c удовлетворяют уравнению $F''_{v0}(\omega_{c1,2}) = 0$, где $F''_{v0}(\omega) \equiv \omega^4 + b_1\omega^2 + b_0$ — биквадратный полином, $b_1 = (\tau_3^{\omega})^{-2} + (\tau_1^v)^{-2} - \omega_{0v}^2 \xi_{\omega v 4}$ и $b_0 = (\tau_3^{\omega})^{-2}[(\tau_1^v)^{-2} - \omega_{0v}^2 \xi_{\omega v 2}]$ — коэффициенты. В области параметров, где $b_0 > 0$, $b_1 > 0$, действительных $\omega_{c1,2}$ не существует, для $b_0 > 0$, $-2b_0^{1/2} < b_1 < 0$ существует две частоты $\omega_{c1,2}^2 = [-b_1 \pm (b_1^2 - 4b_0)^{1/2}]/2$, для $b_0 < 0$ существует одна частота ω_{c1}^2 . При условии $-4b_0 \gg b_1^2$ частота $\omega_{c1}^2 = (-b_0)^{1/2}$, при условии $b_1^2 \gg 4|b_0|$ частоты $\omega_{c1}^2 = -b_0/b_1$ и $\omega_{c2}^2 = -b_1$. В первом случае $\omega_{c1}^2 \propto (\tau_1^v - \tau_{i\xi}^{\omega} - \tau_f^{\lambda})^{1/2}$. Если λ_{η}^{ω} и λ_{η}^{ω} достаточно малы, то $\omega_{c1}^2 \propto (\tau_r^v - \tau_i^{\omega} - \tau^{\lambda})^{1/2}$. Следовательно, частота ω_c определяется соотношением эффективных времен релаксации линейной и угловой скоростей и временем подстройки угловой скорости к вихрю линейной скорости, причем первое больше суммы двух последних. Если $d_{\Lambda}^{\omega'}(\omega_c) > 0$, то на частотах $\omega_{c1,2}$ волна внутреннего вращения распространяется без затухания. Эти частоты ограничены неравенствами $(b_1^2 - b_0 + a_1 - a_2 b_1)\omega_{c1,2}^2 > a_0 + (a_2 - b_1)b_0$. С уменьшением a_0 диапазон частот расширяется. Если $d_{\Lambda}^{\omega'}(\omega_c) < 0$, то в точке $\omega = \omega_c$ волновое число $k'_{\omega} = 0$ и, следовательно, ω_c представляет собой частоту отсечки. Величина этой частоты определяется как коэффициентами вязкости, так и временами релаксации. На этой частоте сдвиг фаз в соседних точках скин-слоя отсутствует, слой ведет себя как твердое тело. В области параметров $\tau^{\lambda}/f_0 > \max\{\tau_1^v - \tau_{i\xi}^{\omega}; (\tau_1^v - \tau_{\infty}^{\omega}) / (1 + (\tau_1^v)^2 / (\tau_3^{\omega})^2)\}$ отсечка отсутствует.

Таким образом, дисперсионная кривая будет близка к линейной на высоких частотах и будет стремиться либо прямо к началу координат, либо к ω_c и далее через максимум k'_{ω} к началу координат на низких частотах. Особенности дисперсии и поглощения волн обусловлены взаимодействием полей. Рассмотрим дисперсию и затухание волн в предельных областях подробнее.

В области частот, где $|F'_v| \ll (\omega/\tau_{\infty}^{\omega})|F''_v|$ волновые числа

$$k'_{\omega}{}'' = (\omega/2\tau_i^{\omega} v_{\omega 2}^2)^{1/2} [1 \pm (\tau_{\infty}^{\omega} F'_v / 2\omega |F''_v|) + 2(\tau_{\infty}^{\omega} F'_v / 4\omega F''_v)^2], \quad (26)$$

где $v_{\omega 2}^2(\omega) = v_{\omega 0}^2 I_1^v I_1^{\omega} / (\tau_1^v)^2 (\tau_3^{\omega})^2 |F''_v|$ — эффективная скорость. В окрестности ω_s действительная и мнимая части k_{ω} равны $k'_{\omega} = k''_{\omega} = (\omega/2\tau_i^{\omega} v_{\omega 2}^2(\omega_s))^{1/2}$. Следовательно, низкочастотные поперечные волны внутреннего вращения не распространяются в жидкости, они затухают на расстоянии $\delta^{\omega} = 1/k''_{\omega}$ от источника (скин-эффект). Поправка, определяемая вторым слагаемым, изменяет знак при переходе ω через ω_s .

В области частот, где $|F'_v| \gg (\omega/\tau_{\infty}^{\omega})|F''_v|$ волновые числа

$$k'_{\omega}{}'' = (\omega^2/2v_{\omega 1}^2)^{1/2} [(1 \pm F'_v / |F''_v|) + 2(\omega F''_v / 2\tau_{\infty}^{\omega} F'_v)^2]^{1/2}, \quad (27)$$

где $v_{\omega 1}^2(\omega) = v_{\omega 0}^2 \omega^2 I_1^v I_1^{\omega} / (\tau_1^v)^2 (\tau_2^{\omega})^2 |F''_v|$ — эффективная скорость. Соотношения, определяющие действительную и мнимую части k_{ω} в области $\omega > \omega_s$, наоборот, определяют мнимую и действительную части k_{ω} в области $\omega < \omega_s$. В высокочастотной области $\omega \gg \max\{(\tau_i^{\omega})^{-1}, (\tau_r^{\omega})^{-1}\}$ действительная часть $k'_{\omega} = \omega/v_{\omega \infty}$ — линейная функция частоты, а мнимая часть $k''_{\omega} = 1/2v_{\omega \infty} \tau_{\infty}^{\omega}$ не зависит от частоты, причем отношение $k''_{\omega}/k'_{\omega} = 1/2\omega \tau_{\infty}^{\omega} \ll 1$. Здесь асимптотические скорость $v_{\omega \infty} = v_{\omega}(1 + \lambda_{\eta}^{\omega}/\theta^{\omega})^{1/2}$ и время релаксации $\tau_{\infty}^{\omega} = \tau_i^{\omega} \theta^{\omega} (\theta^{\omega} + \lambda_{\eta}^{\omega}) / ((\theta^{\omega})^2 + \lambda_{\eta}^{\omega})$ определяются как сдвиговыми, так и вращательными вязкостями и временами релаксации. Следовательно, в области высоких частот, где сдвиговые и вращательные поверхностные моменты сил являются локально неравновесными, в жидкости могут распространяться поперечные волны угловой скорости внутреннего вращения с асимптотической скоростью $v_{\omega \infty}$.

Соотношения (27) описывают распространение волн и в окрестности точек ω_{cn} . В точках $\omega_{c1,2}$ функция $F''_{v0} = 0$ и, следовательно, в области $\omega_{cn} > \omega_s$ мнимая часть $k''_{\omega}(\omega_{cn}) = 0$, а в области $\omega_{cn} < \omega_s$ действительная часть $k'_{\omega}(\omega_{cn}) = 0$. В первом случае среда будет прозрачной на частоте ω_{cn} (антирезонанс). С приближением ω к ω_{cn} расстояние, на которое распространяется волна, неограниченно растет. Этот эффект аналогичен эффектам самоиндуцированной прозрачности в оптике или антирезонанса в магнетизме. Во втором случае происходят синфазные колебания в пределах скин-слоя.

Построенные численно зависимости (21) приведены на рис. 3–5. Влияние связи угловой скорости с

вихрем линейной скорости на дисперсию волн внутреннего вращения показано на рис. 3 при постоянных параметрах поля линейной скорости $\tau_t^v = 1.4 \cdot 10^{-9}$ s, $\tau_r^v = 0.7 \cdot 10^{-9}$ s, $\lambda_\eta^v = 2.0$, $v^v = 0.01$ cm²/s, поля угловой скорости внутреннего вращения $\tau_t^\omega = 0.8 \cdot 10^{-10}$ s, $\tau_r^\omega = 1.0 \cdot 10^{-10}$ s, $\lambda_\eta^\omega = 1.0$, $v^\omega = 0.01$ cm²/s и поля температуры $\tau^T = 1 \cdot 10^{-10}$ s, $v^T = 0.01$ cm²/s, $\tau^a = 1 \cdot 10^{-8}$ s, $\alpha_0 = 10^{-4}$. Видно, что с уменьшением величины параметра связи частота отсечки уменьшается (кривые 4'–2') и в итоге исчезает (кривая 1'). Подставив численные значения в выражение для b_0 и b_1 , получим $b_0 < 0$ для кривых 2'–4' и $b_0 > 0$

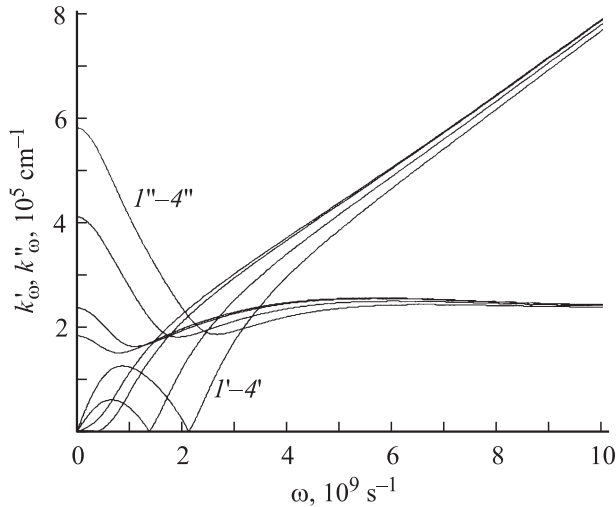


Рис. 3. Влияние поля линейной скорости на дисперсию волн угловой скорости внутреннего вращения. Кривые 1'–4' и 1''–4'' показывают частотную зависимость действительной и мнимой частей волнового числа при $\tau^\lambda = 5 \cdot 10^{-10}$, $3 \cdot 10^{-10}$, $1 \cdot 10^{-10}$, $0.5 \cdot 10^{-10}$ s.

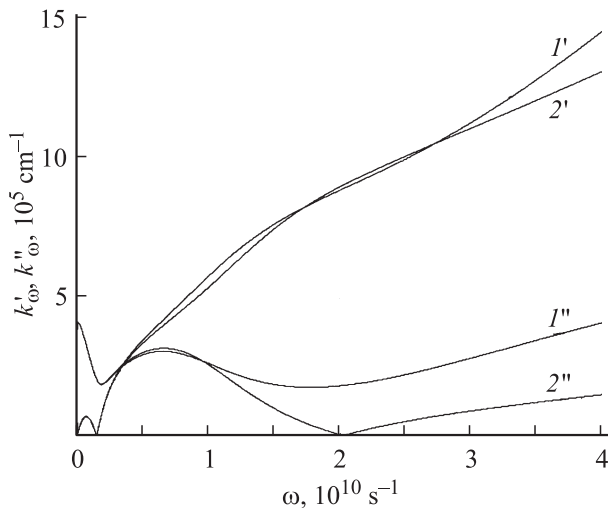


Рис. 4. Влияние времени релаксации в поле внутреннего вращения на дисперсию и затухание волн угловой скорости. Кривые 1', 1'' соответствуют $\tau_t^\omega = 0.2 \cdot 10^{-8}$ s, $\tau_r^\omega = 0.2 \cdot 10^{-8}$ s, кривые 2', 2'' соответствуют $\tau_t^\omega = 0.2 \cdot 10^{-8}$ s и $\tau_r^\omega = 0.02 \cdot 10^{-12}$ s.

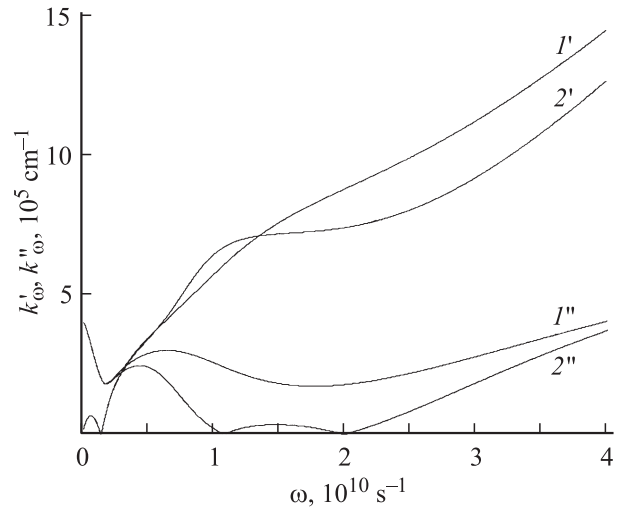


Рис. 5. Влияние поля температуры на дисперсию и затухание волн угловой скорости внутреннего вращения. Кривые 1', 1'' и 2', 2'' соответствуют параметрам $\alpha_0 = 10^{-4}$ и $\alpha_0 = 2 \cdot 10^{-4}$.

для кривой 1', $b_1 > 0$ — для всех кривых. Численные неравенства соответствуют вышеприведенным условиям существования частоты отсечки. В области высоких частот k'_ω линейно растет с частотой и k''_ω не зависит от частоты. Влияние времен релаксации угловых напряжений на дисперсию и затухание волн внутреннего вращения для приведенных выше значений параметров и $\tau^\lambda = 10^{-10}$ s представлено на рис. 4. При данных значениях параметров $\omega_s \approx 0.4 \cdot 10^{-10}$, $\omega_{c1} \approx 0.1 \cdot 10^{-10}$ и $\omega_{c2} \approx 2.1 \cdot 10^{-10}$ s⁻¹ и, следовательно, $\omega_{c1} < \omega_s < \omega_{c2}$. Из рисунка видно, что ω_{c1} — частота отсечки и ω_{c2} — частота прозрачности в соответствии с аналитическими расчетами.

Влияние температуры на волны внутреннего вращения для приведенных выше значений параметров и $\tau_t^\omega = 0.2 \cdot 10^{-10}$ s, $\tau_r^\omega = 0.2 \cdot 10^{-10}$ s показано на рис. 5. С уменьшением связи полей температуры и внутреннего вращения окна прозрачности возникают при меньших временах релаксации и расположены в области более высоких частот.

Температурные волны

Рассмотрим теперь возбуждения поля температуры $T(t, x_n)$. В отсутствие взаимодействия в случае действительных ω и комплексных k на основании уравнения $k_T^2 = d_0^T/v_T^2$ дисперсия и затухание несвязанных температурных волн определяются соотношениями $\omega = v_T k_T^2 (k_T^2 + k_{T0}^2)^{-1/2}$ и $k_T'' = (\omega/k_T') 2\tau^T k_{T0}^2$, где $k_{T0} = (2\tau^T v_T)^{-1}$ — обратное удвоенное расстояние, которое пробегает волна за время релаксации к локально равновесному состоянию. В высокочастотной области ($\omega \gg (\tau^T)^{-1}$) скорость и затухание волны не зависят от частоты. В низкочастотной области (обратное неравенство) величина $k_T'' = k_T' = (\omega/2v_T)^{1/2}$. Низкочастот-

ные волны затухают на расстоянии $\delta^T = 1/k_T''$ от источника (температурный скин-эффект). Температурные волны ведут себя подобно поперечным волнам линейной скорости при $\lambda^v = 0$. В случае действительных k и комплексных ω дисперсия и затухание определяются соотношениями $\omega' = v_T(k_T^2 - k_{T0}^2)^{1/2}$ и $\omega'' = (2\tau^T)^{-1}$. Локализованные возбуждения с $k_T < k_{T0}$ не возникают, а с $k_T > k_{T0}$ затухают за время $2\tau^T$, причем с уменьшением масштаба их фазовая скорость растет и групповая скорость уменьшается, стремясь к одному асимптотическому значению. Чем уже волновой пакет, тем медленней он расплывается.

Дисперсия и затухание температурной компоненты связанных волн на основании (18) определяются выражениями

$$k_3^{',''} = 2^{-1/2} \{ [(d_v^{T'})^2 + (d_v^{T''})^2]^{1/2} \pm d_v^{T'} \}^{1/2}. \quad (28)$$

В случае действительных ω действительная $d_v^{T'}$ и мнимая $d_v^{T''}$ части имеют вид

$$\begin{aligned} d_v^{T'} &= (\omega^2 \xi_\alpha / v_T^2) I_1^{T\omega} / I_r^\omega, \\ d_v^{T''} &= (\omega / \tau^T v_{T\alpha}^2) I_2^{T\omega} / I_r^\omega, \end{aligned} \quad (29)$$

где $(\tau_1^{T\omega})^2 = (\tau_r^\omega)^2 \xi_{\alpha 1}$ и $(\tau_2^{T\omega})^2 = (\tau_r^\omega)^2 \xi_{\alpha 2}$ — характерные времена релаксации, $\xi_\alpha = 1 + \alpha_0 \theta_\omega^q (2\theta_\omega^q - 1)$, $\xi_{\alpha 1} = (1 + \alpha_0 \theta_\omega^q \theta_\omega^q) / \xi_\alpha$ и $\xi_{\alpha 2} = [1 + \alpha_0 \theta_\omega^q (2 - \theta_\omega^q)] / (1 + \alpha_0)$ — функции, определяемые соотношением времен релаксации и произведением перекрестных коэффициентов, $\theta_\omega^q = \tau^q / \tau^T$, $\theta_\omega^q = \tau^q / \tau_r^\omega$, $\theta_T^\omega = \tau_r^\omega / \tau^T$ — отношение времен релаксации, $v_{T\alpha}^2 = v_T^2 / (1 + \alpha_0)$ — характерная скорость, перенормированная взаимодействием. Действительная часть в (28) изменяет знак с частотой при условии $\tau_r^\omega > 2\tau^q + \tau^T / \alpha_0$, причем $d_v^{T'} > 0$ в области $\omega > \omega_{T1}$ и $d_v^{T'} < 0$ в области $\omega < \omega_{T1}$, где $\omega_{T1}^2 = -(\tau_1^{T\omega})^{-2}$. Мнимая часть в (28) изменяет знак с частотой при $\tau_r^\omega < \tau^q \alpha_0 [(\alpha_0^{-1} + 1)^{1/2} - 1]$, причем $d_v^{T''} > 0$ в области $\omega < \omega_{T2}$ и $d_v^{T''} < 0$ в области $\omega > \omega_{T2}$, где $\omega_{T2}^2 = -(\tau_2^{T\omega})^{-2}$. Не существует области параметров, в которой действительная и мнимая части изменяют знак одновременно. Частоты ω_{T1} и ω_{T2} определяют точный скин-эффект и окно прозрачности соответственно. При слабом взаимодействии ($\alpha_0 \rightarrow 0$) эти эффекты исчезают. Рассмотрим частные случаи.

В области частот, где $|I_2^{T\omega}| \gg |\omega \tau_\xi^T I_1^{T\omega}|$, соотношение (30) сводится к виду

$$\begin{aligned} k_3^{',''} &= 2^{-1/2} ((\omega / \tau^T)^{1/2} / v_{T2}) [1 \pm (\omega \tau_\xi^T I_1^{T\omega} / 2 |I_2^{T\omega}|) \\ &+ 2(\omega \tau_\xi^T I_1^{T\omega} / 4 |I_2^{T\omega}|)^2], \end{aligned} \quad (30)$$

где $\tau_\xi^T = \tau^T \xi_\alpha / (1 + \alpha_0)$ — перенормированное время релаксации температуры, $v_{T2}^2 = v_{T\alpha}^2 I_r^\omega / |I_2^{T\omega}|$ — зависящая от частоты эффективная скорость. На низких частотах $\omega \ll |\tau_2^{T\omega}|^{-1}$, $(\tau_r^\omega)^{-1}$ и при $\xi_\alpha < 0$ в окрестности ω_{T1} величина $k_3' = k_3'' = 1/\delta_\alpha^T$, где $\delta_\alpha^T = (\omega / 2\tau^T)^{1/2} / v_{T\alpha}$ —

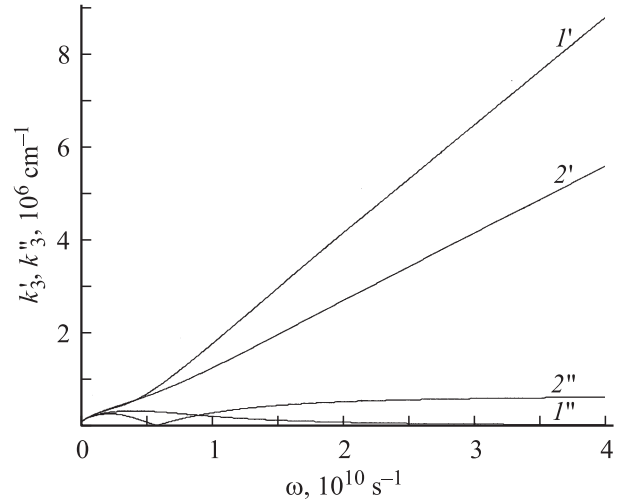


Рис. 6. Дисперсионная зависимость (I' , $2'$) и особенность затухания (I'' , $2''$) температурной компоненты связанных волн при значениях параметров $\tau^q = 1 \cdot 10^{-8}$ s (кривые I' , I'') и $\tau^q = 2 \cdot 10^{-8}$ s (кривые $2'$, $2''$).

перенормированная взаимодействием глубина проникновения температурной волны.

В области частот, где $|\omega \tau_\xi^T I_1^{T\omega}| \gg |I_2^{T\omega}|$, соотношение (30) сводится к виду

$$\begin{aligned} k_3^{',''} &= 2^{-1/2} (\omega / v_{T1}) [(1 \pm \xi_\alpha I_1^{T\omega} / |\xi_\alpha I_1^{T\omega}|) \\ &+ (I_2^{T\omega} / \omega \tau_\xi^T I_1^{T\omega})^2 / 2]^{1/2}, \end{aligned} \quad (31)$$

где $v_{T1}^2(\omega) = v_T^2 I_r^\omega / |\xi_T I_1^{T\omega}|$ — эффективная скорость. В высокочастотной области $\omega \gg |\tau_{1,2}^{T\omega}|^{-1}$, $(\tau_r^\omega)^{-1}$ и при $\xi_{\alpha 2} < 0$ в окрестности ω_{T2} действительная и мнимая части волнового числа $k_3' = \omega / v_{T\infty}$ и $k_3'' = |\xi_{\alpha 2}| / 2 \xi_{\alpha 1} v_{T\infty} \tau^T$, где $v_{T\infty}^2 = v_T^2 / \xi_{\alpha 1}$ — перенормированная взаимодействием асимптотическая скорость температурных волн.

Температурная компонента волн связана с компонентой угловой скорости через параметр α_0 , которая, в свою очередь, связана с компонентой линейной скорости через параметр λ^v . При $\lambda^v \rightarrow 0$ останутся связанными только температурная компонента и компонента угловой скорости, образуя термоспиновые волны. При $\alpha_0 \rightarrow 0$ связанные термоспиновые волны переходят в рассмотренные выше несвязанные температурные волны.

Построенные численно зависимости (28) при данных выше постоянных параметрах представлены на рис. 6. Для кривых 1 и 2 условие прозрачности не выполняется и выполняется соответственно. Кривые 1 имеют вид, аналогичный приведенным на рис. 1 кривым.

Дисперсия и затухание связанных волн

В итоге рассмотрим связанные волны линейной и угловой скоростей и температуры. Разделив подкоренное выражение в (17) на действительную и мнимую части,

можно записать определяющие дисперсию и затухание соотношения для компоненты линейной скорости (акустической моды) в виде

$$k_1^{\prime\prime} = (1/2)\{[(c'_+)^2 + (c''_+)^2]^{1/2} \pm c'_+\}^{1/2} \quad (32)$$

и для компоненты угловой скорости внутреннего вращения (спин-акустической моды) в виде

$$k_2^{\prime\prime} = (1/2)\{[(c'_-)^2 + (c''_-)^2]^{1/2} \pm c'_-\}^{1/2}, \quad (33)$$

где

$$c'_\pm = d'_+ \pm d'_D, \quad c''_\pm = d''_+ \pm d''_D,$$

$$d'_D = 2^{-1/2}\{[(D')^2 + (D'')^2]^{1/2} \pm D'\}^{1/2},$$

$$D' = (d'_-)^2 - (d''_-)^2 + \Lambda'_d, \quad D'' = 2d'_-d''_- + \Lambda''_d$$

— действительная и мнимая части подкоренного выражения $D = d^2_- + \Lambda_d$,

$$\Lambda'_d = 4(\Lambda^v d_v^v - \Lambda'' d_v^v), \quad \Lambda''_d = 4(\Lambda'' d_v^v + \Lambda^v d_v^v)$$

— действительная и мнимая части параметра, характеризующего взаимодействие полей. Температурная компонента связанных мод определяется выражением (28).

В случае действительных ω действительная и мнимая части коэффициента связи определяются соотношениями

$$\Lambda' = \Lambda_0(F'_\Lambda F'_T - F''_\Lambda F''_T), \quad \Lambda'' = \Lambda_0(F'_\Lambda F''_T + F''_\Lambda F'_T),$$

$\Lambda_0 = \omega_0^2 \lambda_\eta^v v_v^2 / v_{v0}^2 v_{\omega 0}^2$ — асимптотическая ($\omega \rightarrow 0$) величина коэффициента связи. Действительная и мнимая части функции, определяющей частотную зависимость параметра связи, имеют вид

$$F'_\Lambda = [I_{2i}^v I_1^v I_2^\omega - \omega^2 (\tau_2^{v\omega})^2 I_{\Sigma 1}^{v\omega}] / (I)^3,$$

$$F''_\Lambda = \omega (\tau_r^v - \tau_t^\omega) [I_{\Sigma 2}^{v\omega} - \omega^2 (\tau_2^{v\omega})^2] / (I)^3,$$

где $(\tau_{2i}^v)^2 = \tau_i^v \tau_1^v$, $(\tau_1^{v\omega})^2 = \tau_r^v \tau_t^\omega$, $(\tau_2^{v\omega})^2 = (\tau_1^v - \tau_t^\omega) \times (\tau_1^\omega - \tau_r^v)$ — характерные времена релаксации, $I_{\Sigma 1}^{v\omega} = I_1^{v\omega} + I_{2i}^v \xi_{vv} + I_2^\omega \xi_{v\omega}$, $\xi_{vv} = (\tau_r^v - \tau_t^\omega) / (\tau_1^v - \tau_t^\omega)$ и $\xi_{v\omega} = (\tau_r^v - \tau_t^\omega) / (\tau_1^\omega - \tau_r^v)$ — отношения времен релаксации, $(I)^3 = I_1^v I_r I_1^\omega$, $I_{\Sigma 2}^{v\omega} = I_{2i}^v I_2^\omega + I_1^{v\omega} (I_2^\omega \xi_{vv}^{-1} + I_{2i}^v \xi_{v\omega}^{-1})$.

Проанализируем дисперсию и затухание компонент линейной и угловой скоростей связанных волн. Выражения (32), (33) аналогичны соотношениям несвязанных волн (20) и, следовательно, поведение связанных волн будет подобно поведению несвязанных волн. В частности, в области частот, где $(c'_\pm)^2 \gg (c''_\pm)^2$, возможно распространение связанных волн, а в области частот, где $(c'_\pm)^2 \ll (c''_\pm)^2$, связанные волны затухают на длине волны (скин-эффект). Частоты ω_s и ω_c , на которых $c'_\pm(\omega_s) = 0$ и $c''_\pm(\omega_c) = 0$, определяют особые точки дисперсии и затухания связанных волн. Частоты ω_s определяют точный скин-эффект. Они удовлетворяют уравнению $4d_v^v d_\Lambda^{\omega'} ((d'_+)^2 + (d''_-)^2) = (d'_-)^2 \Lambda'_d + d_{-\Lambda}^2 \Lambda''_d$, где $d_{-\Lambda}^2 =$

$= d_-^2 d_-^{\prime\prime} + \Lambda''_d / 4$. Частоты ω_s связанных волн линейной и угловой скоростей лежат в разных частотных диапазонах, где $d'_+ < 0$ и $d'_+ > 0$ соответственно. Частоты ω_c определяют окна прозрачности, в которых волны распространяются без затухания (частотный антирезонанс) при $c'_\pm(\omega_c) > 0$ и частоты „отсечки“ (энергетические щели) при $c'_\pm(\omega_c) < 0$. Частоты ω_c удовлетворяют уравнению $4d_v^v d_\Lambda^{\omega''} ((d''_+)^2 + (d'_-)^2) = -(d''_+)^2 \Lambda'_d + d_{-\Lambda}^2 \Lambda''_d$. При $\Lambda_d \rightarrow 0$ выражения переходят в уравнения, определяющие ω_s и ω_c волн угловой скорости внутреннего вращения. Частоты ω_c связанных волн линейной и угловой скоростей лежат в разных частотных диапазонах, где $d''_+ < 0$ и $d''_+ > 0$ соответственно. Частотам ω_c , как видно из (28) и (29), соответствуют волновые числа $k_{1,2c}$. Бегущие и стоячие волны (пространственный антирезонанс) с $k_{1,2c}$ не затухают. Возбужденная стоячая волна с частотой ω_c не излучает. Особенности волн обусловлены взаимодействием полей. Если $\lambda^v = 0$, то все особенности исчезают.

Указанные эффекты можно качественно рассмотреть на основе модели в виде цепочки вращательных маятников. Маятники представляют собой шарообразные грузы на невесомых стрелках, способных вращаться без трения относительно оси подвеса. В поле тяжести грузы маятников расположены по прямой линии в равновесии и могут вращаться в одной плоскости.

Пусть шарообразная частица с массой равной массе груза налетает на цепочку по указанной прямой линии. Тогда груз отклоняется, и частица останавливается. Если кинетическая энергия частицы больше потенциальной энергии маятника в перевернутом положении, то маятник делает оборот и ударяет частицу сзади. В результате этого взаимодействия маятник приходит в равновесное положение, и частица летит к следующему маятнику с прежней энергией. Таким образом, частица проходит через цепочку без потери энергии.

Если энергия частицы меньше, чем максимальная потенциальная энергия, то маятник после отклонения возвращается к положению равновесия и ударяет частицу спереди. В результате частица летит с прежней энергией в противоположном направлении (отражается). Если частице сопоставить волну, а маятнику — волны вихря линейной или угловой скоростей, то в первом случае волна распространяется без затухания и во втором случае волна не проникает в среду.

При слабой связи в области частот, где $(d'_-)^2 - (d''_-)^2 \gg \Lambda'_d$ и $2d'_-d''_- \gg \Lambda''_d$, выражения (32) и (33) переходят в описывающие несвязанные волны соотношения (19) и (21) соответственно. Приближение несвязанных волн пригодно вдали от точек синхронизма (ТС) (k'_r, ω_r) , где дисперсионные ветви волн линейной и угловой скоростей пересекаются. В ТС фазовые скорости волн равны и, следовательно, происходит их резонансное взаимодействие. Координаты ТС определяются из уравнения $k'_r = k'_v(\omega_r) = k'_\omega(\omega_r)$. Из (19) и (21) следует, что ветви спектра всегда пересекаются в начале координат $(k'_r, \omega_r = 0)$. Кроме

этого, могут существовать ТС, удовлетворяющие уравнению $(d'_+ d''_-)^2 = 4d'_- [d_v'' (d_\lambda''')^2 - (d_v''')^2 d_\lambda'']$. При слабом затухании уравнение сводится к соотношению $d_v'' = d_\lambda''$, которое в адиабатическом приближении дает уравнение $F_r(\omega_r) = 0$, где $F_r(\omega) = c_3 \omega^6 + c_2 \omega^4 + c_1 \omega^2 - a_0$ — бикубический полином, $c_3 = 1 - c_0$, $c_2 = a_2 - c_0((\tau_1^\omega)^{-2} + (\tau_{2\xi}^v)^{-2})$, $c_1 = a_1 - c_0(\tau_1^\omega)^{-2}(\tau_{2\xi}^v)^{-2}$ — коэффициенты, $c_0 = v_{\omega\infty}^2 / v_{v\infty}^2$. В случае $v_{\omega\infty} > v_{v\infty}$ уравнение не имеет решений при $c_1 < c_2^2 / 3c_3 < 0$ (ветви не пересекаются) и имеет два решения при $F_{rm1} > 0$ (ветви пересекаются в двух точках), где $F_{rm1} = F_r(\omega_{rm1}^2)$ — максимальное значение $F_r(\omega_r)$, $\omega_{rm1,2}^2 = -(c_2/3c_3) \pm [(c_2/3c_3)^2 - (c_1/3c_3)^2]^{1/2}$ — точки экстремумов, существующие при $c_2^2 - 3c_1c_3 > 0$. В случае $v_{\omega\infty} < v_{v\infty}$ уравнение имеет одно решение в отсутствие экстремумов и при наличии экстремумов, если $F_{rm1} > 0$ или $F_{rm2} < 0$ (ветви пересекаются в одной точке) и три решения при $F_{rm1} < 0$ и $F_{rm2} > 0$, где $F_{rm1} = F_r(\omega_{rm1}^2)$ и $F_{rm2} = F_r(\omega_{rm2}^2)$ — минимум и максимум $F_r(\omega_r)$.

В окрестности ТС $d'_- \approx 0$ и, следовательно, d'_D и d''_D определяются параметрами взаимодействия и затухания. Поэтому вблизи ТС при слабом взаимодействии и затухании в линейном приближении по отклонениям от ТС $k'_{1,2}'' = k'_{1,2}' - k_r''$ и $\varpi = \omega - \omega_r$ из (32) и (33) следуют выражения

$$k'_{1,2} = \pm k'_0 + (v'_{r\pm})^{-1} \varpi, \quad k''_{1,2} = k''_{0\pm} + (v''_{r\pm})^{-1} \varpi, \quad (34)$$

где $k'_0 = d'_D(\omega_r) / 4k'_r$ — смещение действительной части волнового числа в ТС, $(v'_{r\pm})^{-1} = (d'_{+, \omega} \pm d'_{D, \omega})|_r / 4k'_r$ — обратная скорость в ТС, причем второе слагаемое определяет поправку за счет взаимодействия и диссипации, $d'_{+, \omega}|_r = \partial d'_+ / \partial \omega|_r$ и $d'_{D, \omega}|_r = \partial d'_D / \partial \omega|_r$ — производные в точке ω_r , $k''_r = k''(\omega_r)$ и $k''_{0\pm} = (k''_{01} \pm k''_{02}) / 32k'_r d''_{v'}$ — мнимые части волнового числа, определяющие затухание и его смещение в ТС, $k''_{01} = [(d'_D)^2 + (d''_D)^2 + d''_-(d''_- - 4d''_v)]|_r$ и $k''_{02} = [d''_D(4d''_v''' - d''_-) - 2d'_D(d''_v''')^2 / d''_v']|_r$ — составляющие смещения, $(v''_{r\pm})^{-1} = [(v''_{r\pm})^{-1}_1 d_{1\pm} + (v''_{r\pm})^{-1}_2 d_{2\pm}] / 4d''_{v'}$ — эффективная обратная скорость в ТС, $(v''_{r\pm})^{-1}_1 = (v'_{r\pm})^{-1} k'_r / k''_r$ и $(v''_{r\pm})^{-1}_2 = (d''_{+, \omega} \pm d''_{D, \omega})|_r / 4k''_r$ — определяемые производными составляющие эффективной скорости в ТС, $d_{1\pm} = (\pm d'_D - (d''_v'')^2 / d''_v'')|_r$ и $d_{2\pm} = (\pm d''_D + d''_v''' - d''_-)|_r$ — коэффициенты в ТС. Из (34) следует, что в ТС зазор между ветвями спектра и разность коэффициентов затухания составляют $2k'_0$ и $k''_{02} / 16k'_r d''_{v'}$ соответственно. Более детально дисперсия и затухание волн в окрестности ТС рассмотрены в [15].

Численные решения уравнений (32) и (33) приведены на рис. 7 и 8. Дисперсионные зависимости для приведенных выше (в разд. 6) значений параметров в полях линейной скорости и температуры и $\tau^\lambda = 10^{-10}$, $\tau_r^\omega = 0.2 \cdot 10^{-10}$, $\tau_r^v = 0.02 \cdot 10^{-10}$ s показаны на рис. 7.

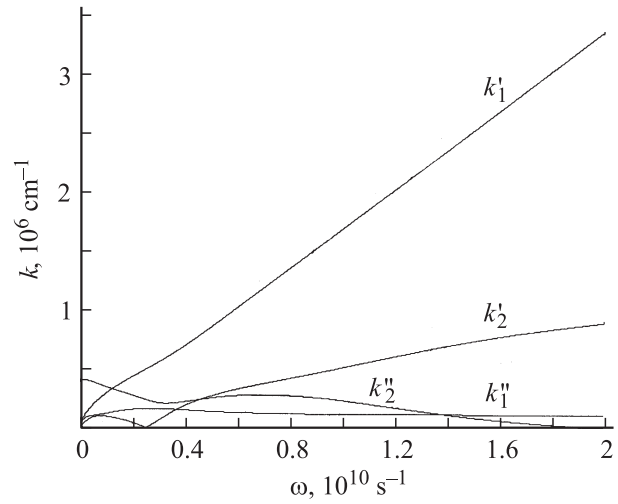


Рис. 7. Дисперсия и затухание связанных волн при наличии частот отсечки и прозрачности ($\tau_r^\omega = 0.2 \cdot 10^{-10}$ и $\tau_r^v = 0.02 \cdot 10^{-10}$, $\tau^\lambda = 10^{-10}$ s).

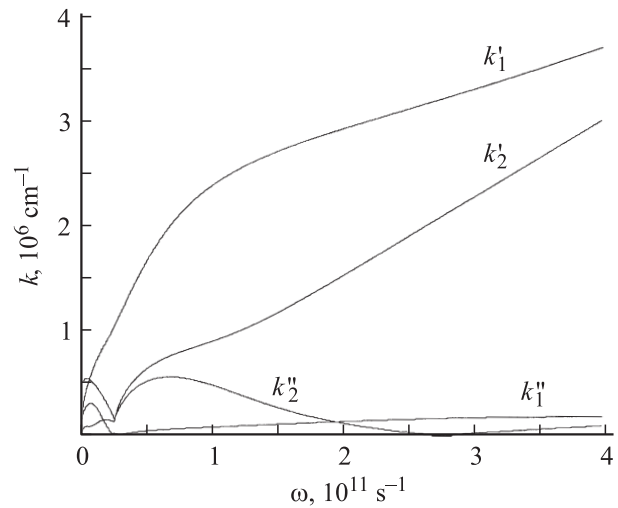


Рис. 8. Спектр связанных волн с особенностью в акустоспиновой ветви.

Видно, что при данных значениях акустоспиновая ветвь не имеет особенностей, но спин-акустическая ветвь имеет частоту отсечки. На рас. 8 показаны дисперсионные зависимости и затухание связанных волн при меньших временах релаксации в поле линейной скорости $\tau_r^v = 10^{-10}$, $\tau_r^v = 1.2 \cdot 10^{-11}$ s, $\lambda_\eta^v = 20$, $v^v = 0.01$ cm²/s и при приведенных выше значениях параметров в полях угловой скорости и температуры. Видно, что акустоспиновая ветвь имеет особенности, подобные спин-акустической ветви.

В случае действительных k и комплексных $\omega = \omega' + i\omega''$ и (32) и (33) следуют уравнения $k''_1 = 0$ и $k''_2 = 0$, которые определяют связь ω'' и ω' . Если выразить ω'' через ω' , то уравнения $k'_1(\omega')$ и $k'_2(\omega')$ будут описывать дисперсию возбуждений линейной и угловой скоростей. При $\omega'' = 0$ уравнения будут определять частоты $\omega'_{c1,2}$ и волновые числа

$k'_{1c} = k'_1(\omega'_{c1})$ и $k'_{2c} = k'_2(\omega'_{c2})$, для которых возбуждения не затухают. Уравнение $k'_2(\omega'_g) = 0$ определяет энергетическую щель. На ненулевых частотах ω'_g происходит однородная „прецессия“ с релаксацией. При $\tau^\lambda \ll \omega^{-1}$ вектор ω успевает подстраиваться к Ω , а малые колебания ω относительно Ω дают энергетическую щель.

Обсуждение результатов

Выше рассматривались плоские бегущие волны в неограниченной однокомпонентной среде в линейном приближении. В ограниченной среде частоты незатухающих стоячих волн будут составлять широкий спектр. Если на этих частотах отсутствует затухание, то и нет излучения. Возбуждение мод может происходить параметрически на разностных частотах. Эти частоты и будут излучаться. В многокомпонентной жидкости спектр частот расширяется. В нелинейном приближении возможны уединенные волны с внутренней динамической структурой.

Волны внутреннего вращения могут возбуждаться вихревым потоком. Амплитуда волн ограничивается нелинейными эффектами. Следовательно, движущаяся жидкость может иметь запас энергии внутреннего вращения. Кроме того, в среде с неоднородными параметрами волны линейной (угловой) скорости могут преобразовываться в волны угловой (линейной) скорости, длина волны которых достигает значительной величины в точках возврата, образуя эффективный диполь угловой (линейной) скорости. Такие диполи могут образовываться в океане и атмосфере, а также при обтекании тел.

На основе подобия волн в жидкости и проводящей среде можно предположить, что в проводящей среде будут наблюдаться эффекты, аналогичные рассмотренным выше.

Автор благодарен Ф.В. Лисовскому за плодотворное обсуждение работы и полезные замечания.

Список литературы

- [1] Бэтчелор Дж. Введение в динамику жидкости. М.: Мир, 1973. 758 с.
- [2] Кочин Н.Е., Кибель И.А., Розе Н.В. Теоретическая гидромеханика. М.: Гос. изд-во технико-технич. лит., 1955. 560 с.
- [3] Виноградова М.Б., Руденко О.В., Сухоруков А.П. Теория волн. М.: Наука, 1990. 432 с.
- [4] Баранский К.Н., Север Г.А., Величкина Т.С. // Письма в ЖЭТФ. 1971. Т. 13. Вып. 1. С. 52.
- [5] Бердышев А.А., Лежнев Н.Б. Письма в ЖЭТФ, 1971. Т. 13. Вып. 1. С. 49.
- [6] Френкель Я.И. Кинетическая теория жидкости. М.: Наука, 1975. 592 с.
- [7] Сорокин В.С. // ЖЭТФ. 1943. Т. 13. Вып. 7–8. С. 307.
- [8] Де-Гроот С., Мазур П. Неравновесная термодинамика. М.: Мир, 1964. 456 с.
- [9] Дьярмати И. Неравновесная термодинамика. М.: Мир, 1974. 304 с.

- [10] Кабыченков А.Ф. // Тез. докл. XVI междунар. shk-семинара. 1998. Ч. 1. С. 185; Сб. тр. XIX междунар. shk-семинара. М. 2004. С. 376, 379.
- [11] Birss R.R. Symmetry and Magnetism. 1964. 252 p.
- [12] Сиротин Ю.И., Шаскольская М.П. Основы кристаллофизики. М.: Наука, 1979. 640 с.
- [13] Ландау Л.Д., Лифшиц Е.М. Электродинамика сплошных сред. М.: Наука, 1982. 664 с.
- [14] Тамм И.Е. Основы теории электричества, М.: Наука, 1976. 616 с.
- [15] Кабыченков А.Ф., Шавров В.Г., Шевченко А.Л. // ФТТ. 1989. Т. 31. Вып. 7. С. 193.